

POLITECHNIKA WARSZAWSKA

WYDZIAŁ MATEMATYKI I NAUK INFORMACYJNYCH

# Rozwiązywanie układów równań różniczkowych zwyczajnych

Autor: Grzegorz Prasek

Prowadzacy: Profesor Paweł Mazurek

Warszawa 25.11.2023

# Lista symboli matematycznych i akronimów, użytych w sprawozdaniu:

- `plotuj(x, y)` - Funkcja przyjmująca jako parametry dwa wektory (*argumenty, wartości*) i generująca wykres na podstawie tych wektorów.
- `y_values` - Zmienna przechowująca macierz wyników danej metody, uzyskanych w wyniku próbkowania zgodnego z funkcją podaną jako argument. Macierz ta ma wymiary  $2 \times n$ , gdzie  $n$  to ilość punktów, dla których przeprowadzono proces różniczkowania.
- `dt` oraz `h` - Wartości określające wielkość kroku próbkowania w kontekście różniczkowania. Parametr `dt` to dokładny krok czasowy, natomiast `h` określa wielkość kroku dla metody numerycznej. Oba parametry są istotne dla procesu badania zmian wartości funkcji w kolejnych chwilach czasu.
- `f` - Definicja równań różniczkowych
- $\delta 1(h)$  i  $\delta 2(h)$  - błędy względne
- `metoda nr. ...` - (np. 2.1) to zadanie, algorytm, metoda implementująca metodę z punktu podanego jako numer.
- `I` - Macierz jednostkowa.
- `URRZ` - Układ rozwiązań równań różniczkowych

# Spis treści

<b>Wprowadzenie</b>	<b>3</b>
Cel Projektu . . . . .	3
Struktura Projektu . . . . .	3
Narzędzia i Technologie . . . . .	3
Tematyka Zadania Projektowego . . . . .	3
Metody i Algorytmy . . . . .	4
<b>Metodyka i wyniki doświadczeń</b>	<b>5</b>
Metoda 1 . . . . .	5
Metoda 2.1 . . . . .	6
Metoda 2.2 . . . . .	7
Metoda 2.3 . . . . .	8
Metoda 2.4 . . . . .	9
<b>Dyskusja wyników eksperymentów numerycznych</b>	<b>12</b>
<b>Wnioski</b>	<b>14</b>
<b>Listing programów</b>	<b>16</b>

# Wprowadzenie

Projekt ten poświęcony jest problematyce rozwiązywania układów równań różniczkowych zwyczajnych (URRZ). URRZ to rodzaj zagadnienia matematycznego, w którym poszukujemy funkcji, spełniających jednocześnie zestaw równań różniczkowych. W ramach projektu skupimy się na rozwiązaniach numerycznych tego rodzaju problemów, korzystając z narzędzi dostępnych w języku programowania MATLAB.

## Cel Projektu

Celem tego projektu jest zgłębienie metod rozwiązywania URRZ, a następnie zastosowanie ich do konkretnego zestawu równań. Projekt obejmuje wykorzystanie narzędzi MATLAB, takich jak procedura `ode45` oraz różnych metod numerycznych, w tym tych opartych na wzorach iteracyjnych.

## Struktura Projektu

Projekt podzielony jest na trzy główne zadania. Pierwsze z nich polega na wyznaczeniu dokładnych rozwiązań URRZ za pomocą procedury `dsolve` z wykorzystaniem MATLAB Symbolic Toolbox. Drugie zadanie obejmuje rozwiązanie URRZ przy użyciu różnych metod numerycznych, takich jak procedura `ode45` oraz metody zdefiniowane wzorami. Ostatnie zadanie skupia się na analizie zależności dokładności rozwiązań numerycznych od długości kroku całkowania.

## Narzędzia i Technologie

Do realizacji projektu wykorzystamy język programowania MATLAB ze szczególnym uwzględnieniem funkcji dostępnych w Symbolic Toolbox oraz różnych metod numerycznych wbudowanych w to narzędzie.

## Tematyka Zadania Projektowego

Zadanie projektowe skupia się na rozwiązaniu układu równań różniczkowych zwyczajnych (URRZ) o postaci:

$$\begin{aligned}\frac{dy_1}{dt} &= -\frac{19}{3}y_1 + \frac{8}{3}y_2 + x(t) \\ \frac{dy_2}{dt} &= -\frac{8}{3}y_1 + \frac{1}{3}y_2 + x(t)\end{aligned}$$

gdzie  $x(t) = \exp(-t) \cdot \sin(t)$ , a  $t \in [0, 8]$ .

## Metody i Algorytmy

Do rozwiązania zadania projektowego wykorzystano różne metody numeryczne, w tym:

- **Procedura dsolve (MATLAB Symbolic Toolbox):** Wyznaczenie dokładnego rozwiązania URRZ dla zerowych warunków początkowych.
- **Procedura ode45:** Rozwiązanie URRZ przy użyciu funkcji ode45 w MATLAB.
- **Metoda wzoru:**  $y_n = y_{n-1} + \frac{h}{2}(3f(t_{n-1}, y_{n-1}) - f(t_{n-2}, y_{n-2}))$ .
- **Metoda wzoru:**  $y_n = y_{n-1} + \frac{h}{12}(5f(t_n, y_n) + 8f(t_{n-1}, y_{n-1}) - f(t_{n-2}, y_{n-2}))$ .
- **Metoda wzoru:**  $y_n = y_{n-1} + h \sum_{k=1}^3 w_k f_k$ , gdzie  $f_k = f(t_{n-1} + c_k h, y_{n-1} + h \sum_{k=1}^3 a_{k,k} f_k)$ .

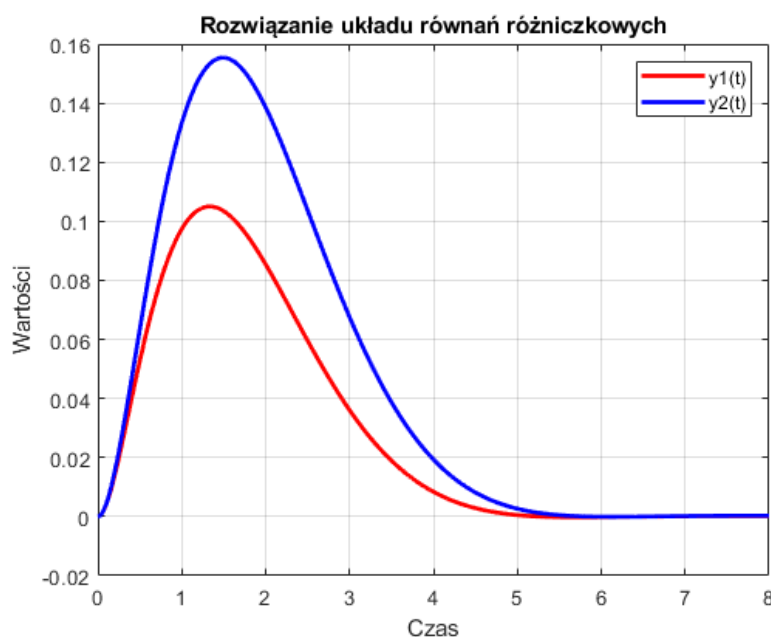
Oraz porównamy ich skuteczność. Wprowadzenie do tematyki zadania projektowego oraz opis zastosowanych metod i algorytmów stanowi wstęp do bardziej szczegółowego omówienia każdej z tych części w kolejnych rozdziałach raportu.

# Metodyka i wyniki doświadczeń

## Metoda 1

Zadanie 1: Wyznacz dokładne rozwiązanie URRZ,  $\tilde{y}_1$  i  $\tilde{y}_2$ , dla zerowych warunków początkowych za pomocą procedury `dsolve` (MATLAB Symbolic Toolbox).

W ramach zadania 1, celem jest wyznaczenie dokładnego rozwiązania układu równań różniczkowych zwyczajnych (URRZ) oraz funkcji wymuszającej. W tym celu korzystamy z narzędzi MATLAB Symbolic Toolbox, które umożliwiają symboliczne rozwiązywanie równań. Zaczniemy od zdefiniowania parametrów układu równań różniczkowych. Wartości  $a = \frac{19}{3}$ ,  $b = \frac{8}{3}$ ,  $c = \frac{8}{3}$ ,  $d = \frac{1}{3}$  zostały określone na podstawie specyfikacji problemu. Następnie definiujemy układ równań różniczkowych  $dy_1/dt$  i  $dy_2/dt$  przy użyciu narzędzi symbolicznych, uwzględniając zmienne  $t$ ,  $y_1(t)$ ,  $y_2(t)$  oraz  $x(t)$ . Określamy warunki początkowe dla  $y_1$  i  $y_2$  w chwili  $t = 0$ , co stanowi punkt wyjścia dla procesu rozwiązywania równań. Następnie definiujemy funkcję wymuszającą  $x(t) = e^{-t} \sin(t)$ , która reprezentuje wpływ zewnętrzny na układ. Dokonujemy podstawienia funkcji wymuszającej do układu równań różniczkowych, uwzględniając wpływ czynnika zewnętrznego w procesie ewolucji zmiennych  $y_1$  i  $y_2$ . Rozwiązujemy uzyskane równania różniczkowe symbolicznie przy użyciu funkcji `dsolve`, co pozwala na otrzymanie analitycznych rozwiązań układu przy określonych warunkach początkowych i funkcji wymuszającej. Następnie przypisujemy uzyskane rozwiązania do zmiennych  $y1\_sol$  i  $y2\_sol$ , co umożliwia dalszą analizę wyników. W celu ilustracji uzyskanych rozwiązań generujemy wykresy funkcji  $y_1(t)$  oraz  $y_2(t)$  dla zadanego zakresu czasowego od  $t = 0$  do  $t = 8$ , uwzględniając zdefiniowany krok czasowy  $dt$ . Przy użyciu `plotuj` ukażemy otrzymane wyniki (Rysunek 1).



Rysunek 1: Wykres przedstawiający rozwiązanie układu równań różniczkowych za pomocą funkcji `dsolve`

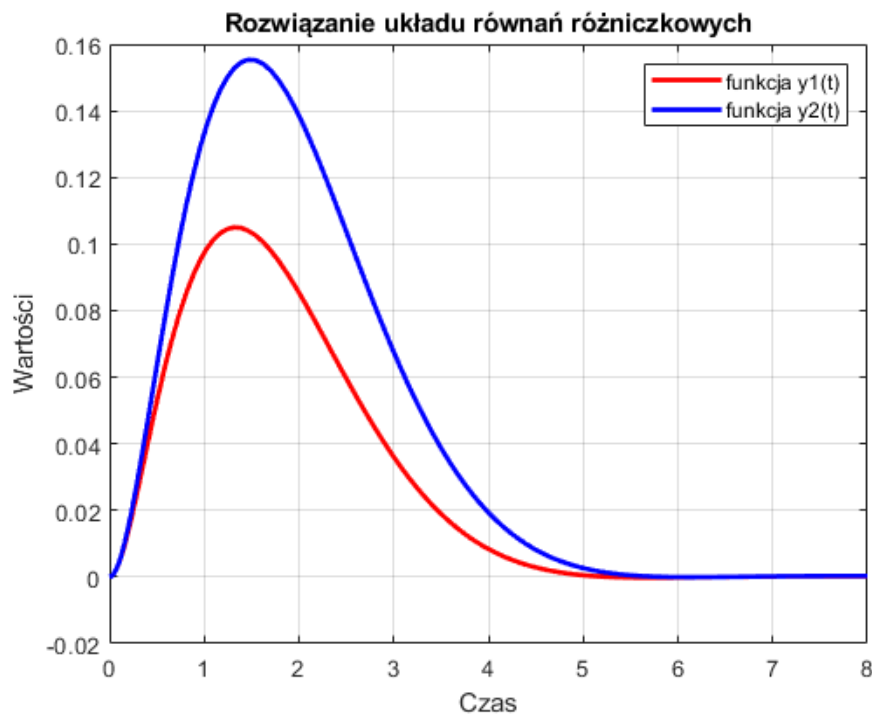
## Metoda 2.1

Rozwiązanie URRZ za pomocą Procedury ode45.

W celu rozwiązania układu równań różniczkowych zwyczajnych (URRZ) zdefiniowano funkcje  $f$  zgodnie z warunkami zadania. Równania różniczkowe opisujące dynamikę układu zostały zaimplementowane przy użyciu funkcji anonimowej  $f(t, y)$ , gdzie  $t$  to czas, a  $y$  to wektor zmiennych stanu  $[y_1, y_2]$ .

Określono warunki początkowe  $y_0$  oraz przedział czasowy  $tspan$ , co stanowiło podstawę do zastosowania numerycznej metody rozwiązania układu równań ode45 w środowisku MATLAB. Wyniki uzyskano w postaci macierzy  $t$  i  $y$ , reprezentujących odpowiednio dyskretny punkt czasowy i odpowiadające mu wartości zmiennych stanu.

Otrzymane rozwiązania zostały zilustrowane na wykresie, gdzie zmienna  $t$  oznacza czas, a  $y_1$  oraz  $y_2$  przedstawiają ewolucje odpowiednich zmiennych stanu. Wpływ funkcji wymuszającej  $x(t) = e^{-t} \sin(t)$  na rozwiązanie układu został uwzględniony, co pozwala na pełniejsze zrozumienie dynamiki systemu. Efekty zadania zamieszczono na rysunku numer 2.



Rysunek 2: Wykres przedstawiający rozwiązanie układu równań różniczkowych za pomocą funkcji ode45

## Metoda 2.2

Metoda zdefiniowana wzorem:  $y_n = y_{n-1} + \frac{h}{2}(3f(t_{n-1}, y_{n-1}) - f(t_{n-2}, y_{n-2}))$

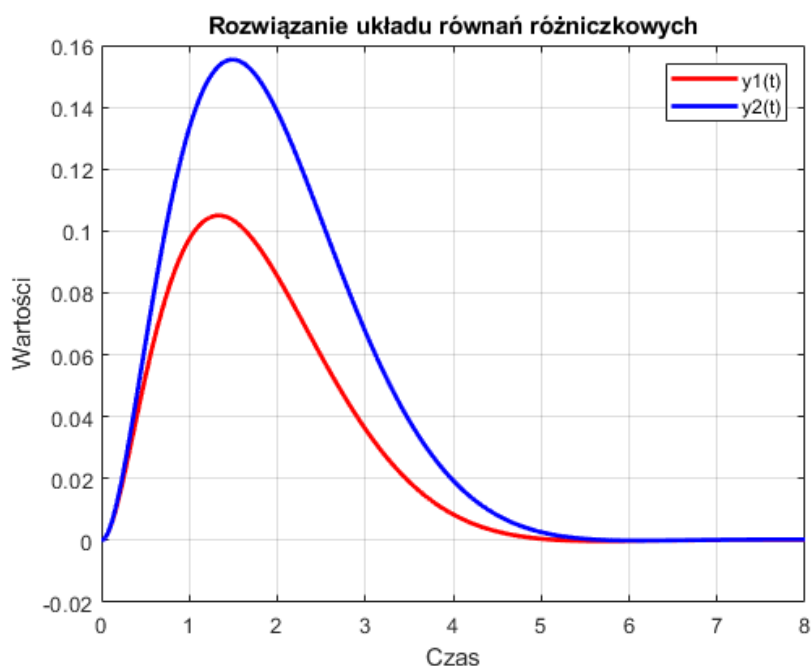
Rozwiązanie układu równań różniczkowych zwyczajnych (URRZ) jest kluczowym zagadnieniem w analizie dynamicznych procesów. W tym kontekście skonstruowano numeryczną implementację algorytmu rozwiązującego zadanie oznaczone jako `zadanie2_2` w środowisku MATLAB.

Pierwszym etapem było zdefiniowanie układu równań opisujących ewolucję zmiennych  $y_1(t)$  i  $y_2(t)$ . W tym celu skorzystano z funkcji  $f(t, y) = Ay + Bx(t)$  wyznaczonej na wykładzie w której,  $A$  stanowi macierz parametrów,  $y = [y_1, y_2]^T$ ,  $B = [1, 1]^T$ , oraz w której uwzględniono wpływ funkcji wymuszającej  $x(t) = e^{-t} \sin(t)$ . Parametry równań, takie jak  $\frac{-19}{3}$ ,  $\frac{-8}{3}$ ,  $\frac{8}{3}$ ,  $\frac{1}{3}$ , zostały zainicjowane w macierzy  $A$ .

Następnie określono warunki początkowe  $y_1(0) = 0$  i  $y_2(0) = 0$ , przedział czasowy  $tspan$  od 0 do 8 oraz krok czasowy  $h$ . Wektor wynikowy  $y\_values$  został zainicjowany wartościami początkowymi.

Algorytm numeryczny zaimplementowano jako pętlę iteracyjną, w której dla każdego kroku obliczeniowego  $i$  wyznaczano nowe wartości  $y_1$  i  $y_2$ . Metoda przyjęta w implementacji opierała się na schemacie przybliżonym, gdzie kolejne pochodne  $f_1$  i  $f_2$  były wykorzystywane do wyznaczenia nowych wartości zgodnie z równaniem  $y\_values(:, i) = y\_values(:, i - 1) + \frac{h}{2}(3f_1 - f_2)$ .

Otrzymane wyniki zostały zebrane w macierzy  $y\_values$ , reprezentującej trajektorie rozwiązań układu równań w kolejnych punktach czasowych. Również tutaj wartości zostały dostosowane do formatu zgodnego z konwencją MATLAB. Finalnie wygenerowano wykres z otrzymanymi wynikami powyższej metody, który prezentujemy na rysunku numer 3.



Rysunek 3: Wykres przedstawiający rozwiązanie układu równań różniczkowych za pomocą metody 2.2



## Metoda 2.3

Metoda zdefiniowana wzorem  $y_n = y_{n-1} + \frac{h}{12}(5f(t_n, y_n) + 8f(t_{n-1}, y_{n-1}) - f(t_{n-2}, y_{n-2}))$

Rozważając zagadnienie rozwiązania układu równań różniczkowych zwyczajnych (URRZ), zdecydowano się skorzystać z numerycznej metody, wykorzystującej zdefiniowaną formułę która następnie przekształciliśmy w poniższy sposób wykorzystując wzór  $f(t, y) = Ay + Bx(t)$ :

$$\begin{aligned}y_n &= y_{n-1} + \frac{h}{12}(5f(t_n, y_n) + 8f(t_{n-1}, y_{n-1}) - f(t_{n-2}, y_{n-2})) \\y_n &= y_{n-1} + \frac{h}{12}5Ay_n + \frac{h}{12}5Bx(t_n) + \frac{h}{12}8f(t_{n-1}, y_{n-1}) - \frac{h}{12}f(t_{n-2}, y_{n-2}) \\(I - \frac{h}{12}5A)y_n &= y_{n-1} + \frac{h}{12}5Bx(t_n) + \frac{h}{12}8f(t_{n-1}, y_{n-1}) - \frac{h}{12}f(t_{n-2}, y_{n-2}) \\y_n &= (I - \frac{h}{12}5A)^{-1}(y_{n-1} + \frac{h}{12}5Bx(t_n) + \frac{h}{12}8f(t_{n-1}, y_{n-1}) - \frac{h}{12}f(t_{n-2}, y_{n-2}))\end{aligned}$$

Przypisano do zmiennej  $s$  wartość  $\frac{h}{12}$  oraz otrzymano końcowe przekształcenie:

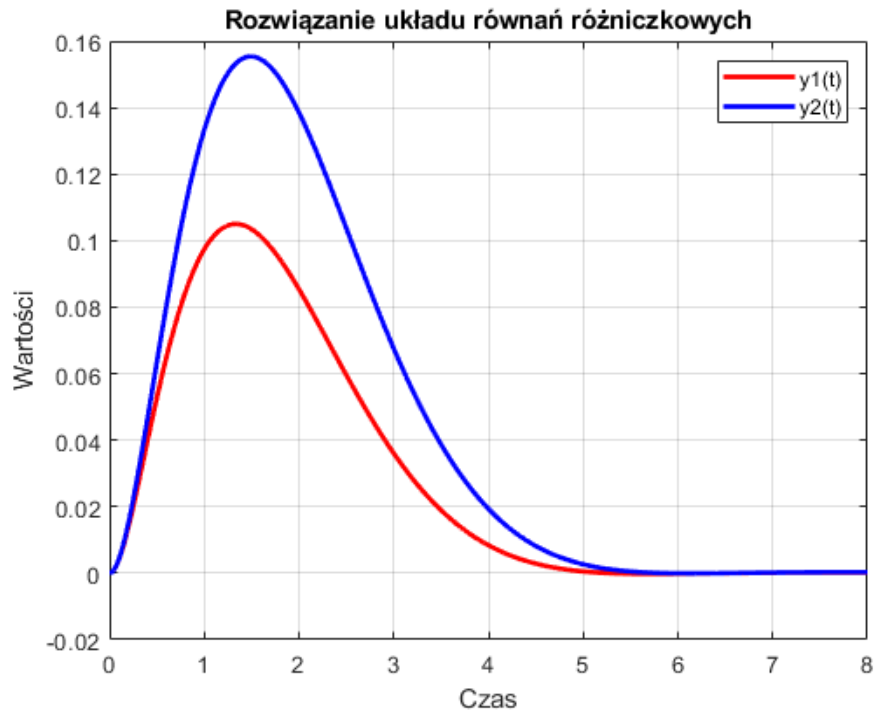
$$y_n = (I - 5sA)^{-1}(y_{n-1} + 5sBx(t_n) + 8sf_{n-1} - sf_{n-2})$$

gdzie  $s$  oznacza  $\frac{h}{12}$  długości kroku całkowania,  $I$  to macierz jednostkowa, a  $x(t)$  jest funkcja wymuszająca. Przedział czasowy przyjęto jako  $t \in [0, 8]$ , a krok czasowy równy  $h$ .

W pierwszym etapie procesu rozwiązania, zainicjowano warunki początkowe  $y_0$  i przygotowano strukturę równań różniczkowych  $f(t, y)$  z uwzględnieniem funkcji wymuszającej. Następnie, w ramach petli numerycznej, dla każdego kroku czasowego  $t_n$ , obliczano wartości  $x(t_n)$ ,  $f_{n-1}$ ,  $f_{n-2}$ , a następnie dokonywano obliczeń zgodnie ze zdefiniowaną metodą. Otrzymane wyniki  $y_n$  zapisywano do macierzy wynikowej  $y$ .

Podczas implementacji metody uwzględniono różne aspekty numeryczne, takie jak formatowanie danych, optymalizacja obliczeń, a także zadbanie o efektywność i precyzję numeryki. Dla kompleksowej analizy wyników, możliwe jest porównanie uzyskanych rezultatów z wynikami innych metod rozwiązania URRZ, co pozwala ocenić skuteczność oraz stabilność metody co rozważamy w zadaniu 3.

Dodatkowo, eksperymenty numeryczne mogą być przeprowadzane poprzez dostosowywanie wartości kroku  $s$  w celu zbadania wpływu na stabilność numeryczną oraz dokładność wyników. Warto zauważyć, że przy zbyt dużych wartościach  $s$  może wystąpić zjawisko niestabilności numerycznej. Jednakże przyjmując optymistyczną wartość  $h = 0.01$  otrzymujemy wykres prezentowany na rysunku numer 4.



Rysunek 4: Wykres przedstawiający rozwiązanie układu równań różniczkowych za pomocą metody 2.3

## Metoda 2.4

Metoda zdefiniowana wzorem  $y_n = y_{n-1} + h \sum_{k=1}^3 w_k f_k$ , gdzie  $f_k = f(t_{n-1} + c_k h, y_{n-1} + h \sum_{k=1}^3 a_{k,k} f_k)$ , gdzie dana jest tabela Butchera,  $y_n = [y_1(t_n) y_2(t_n)]^T$  a funkcja  $f(t_n, y_n)$  określona jest przez URZ  $\frac{dy(t)}{dt}|_{t=t_n} = f(t_n, y_n)$ .

Przedstawmy teraz Tabele Butchera (Rysunek 5), która wykorzystamy w naszej obecnej metodzie.

$$\begin{array}{c|ccc}
 c_1 & a_{1,1} & a_{1,2} & a_{1,3} \\
 c_2 & a_{2,1} & a_{2,2} & a_{2,3} \\
 c_3 & a_{3,1} & a_{3,2} & a_{3,3} \\
 \hline
 & w_1 & w_2 & w_3
 \end{array}
 =
 \begin{array}{c|ccc}
 0 & \frac{1}{6} & 0 & -\frac{1}{6} \\
 \frac{1}{2} & \frac{1}{12} & \frac{5}{12} & 0 \\
 1 & \frac{1}{2} & \frac{1}{3} & \frac{1}{6} \\
 \hline
 & \frac{1}{6} & \frac{2}{3} & \frac{1}{6}
 \end{array}$$

Rysunek 5: Rysunek przedstawiający Tabele Butchera wykorzystywaną w metodzie 2.4

A zatem rozpoczęto program od zdefiniowania macierzy  $A$  (macierz parametrów)

$$A = \begin{bmatrix} \frac{-19}{3} & \frac{8}{3} \\ \frac{-8}{3} & \frac{1}{3} \end{bmatrix}$$

Macierzy  $B$  (współczynników przy funkcji  $x(t)$ ),  $B = [1, 1]^T$ , oraz funkcji  $x(t) = e^{-t} \sin(t)$ .

Następnie zdefiniowano zmienne  $a\_matrix$ ,  $w\_vector$ , oraz  $C\_vector$ , które zgodnie z rysunkiem przyjmują następującą postać:

$$w\_vector = \left[ \frac{1}{6}, \frac{2}{3}, \frac{1}{6} \right], C\_vector = \left[ 0, \frac{1}{2}, 1 \right]$$

oraz

$$a\_matrix = \begin{bmatrix} \frac{1}{6} & 0 & -\frac{1}{6} \\ \frac{1}{12} & \frac{5}{12} & 0 \\ \frac{1}{2} & \frac{1}{3} & \frac{1}{6} \end{bmatrix}$$

Warunki początkowe  $y_0$  oraz przedział czasowy  $t \in [0, 8]$  zostały zdefiniowane, a krok czasowy  $h$  ustalono na wartość przekazana jako argument funkcji. Zainicjowano wektor czasów  $t\_values$  w zakresie od 0 do 8 z zadany krok czasowy. Wektor  $y\_values$  został zainicjowany jako macierz zerowa o rozmiarze odpowiadającym liczbie kroków czasowych.

W pierwszej kolejności przekształćmy równania, abyśmy mogli zbudować układ równań:

$$f_1 = A(y_{n-1} + ha_{1,1}f_1 + ha_{1,2}f_2 + ha_{1,3}f_3) = Bx(t_{n-1} + c_1h)$$

$$f_2 = A(y_{n-1} + ha_{2,1}f_1 + ha_{2,2}f_2 + ha_{2,3}f_3) = Bx(t_{n-1} + c_2h)$$

$$f_3 = A(y_{n-1} + ha_{3,1}f_1 + ha_{3,2}f_2 + ha_{3,3}f_3) = Bx(t_{n-1} + c_3h)$$

Następnie przekształćmy go:

$$(I - ha_{1,1}A)f_1 - ha_{1,2}Af_2 + ha_{1,3}Af_3 = Ay_{n-1} + Bx(t_{n-1} + c_1h)$$

$$ha_{2,1}Af_1 - (I - ha_{2,2})Af_2 + ha_{2,3}Af_3 = Ay_{n-1} + Bx(t_{n-1} + c_2h)$$

$$ha_{2,1}Af_1 - ha_{1,2}Af_2 + (I - ha_{3,3})Af_3 = Ay_{n-1} + Bx(t_{n-1} + c_3h)$$

Otrzymaliśmy równanie typu  $L \cdot g = p$ , gdzie  $g = (f_1, f_2, f_3)^T$ . Zatem przejdźmy do implementacji powyższych własności.

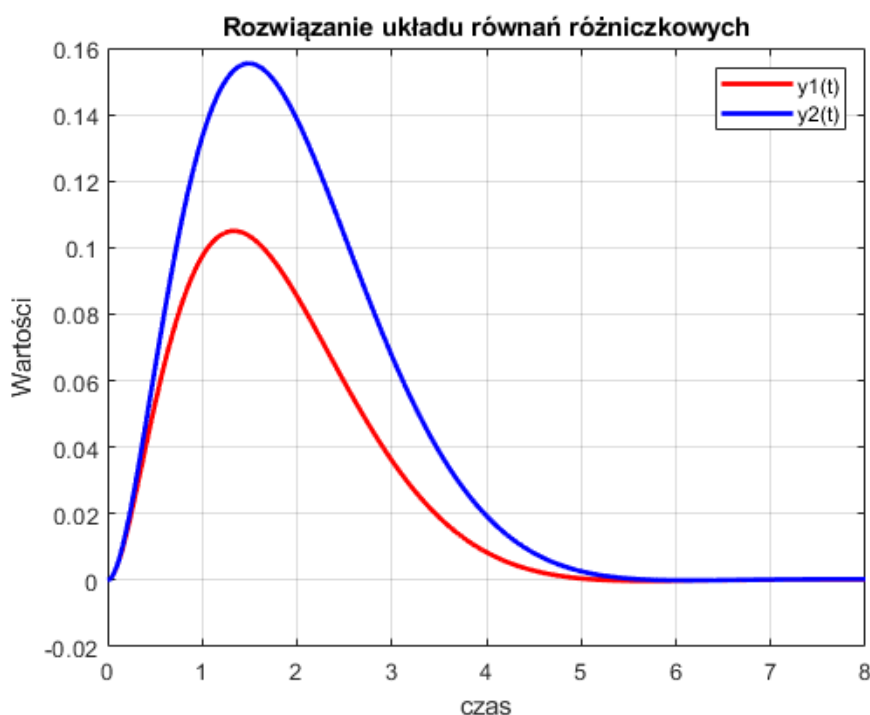
W pierwszej kolejności tworzona jest macierz równań  $L$  gdzie tworzymy macierz taką która po przemnożeniu przez wektor  $g = [f_1, f_2, f_3]^T$  da nam lewą stronę równania za pomocą operacji na macierzach. Następnie, w petli for, dla kolejnych wartości czasu, obliczana jest prawa strona tego równania. Robimy to zgodnie ze wzorem za pomocą polecenia  $Ay(:, i-1) + bx(t(i-1)) + C(k)dt$  gdzie  $i$  to kolejnym obieg petli a  $k$  jest z zakresu 1-3. Ostatnim krokiem jest wykonanie operacji  $g = \frac{p}{L}$ , i tak otrzymujemy zmienne typu  $f_k$ .

Zatem ostatnim krokiem będzie wykonanie operacji:

$$y_n = y_{n-1} + h \sum_{k=1}^3 w_k f_k,$$

gdzie  $w_k$  to wartość z pod indeksu  $k$  w  $w\_vector$ , oraz  $f_k = fs[k, k + 1]$  gdzie  $k$  zgodnie z sumą jest z zakresu 1-3.

Podsumowując, kod ten implementuje skomplikowany proces numerycznego rozwiązania układu równań różniczkowych, korzystając z określonych metod numerycznych. Poniżej przedstawiamy wykres wartości uzyskanych tą metodą przy kroku próbkowania  $h = 0.01$  (Rysunek 6).



Rysunek 6: Wykres przedstawiający rozwiązanie układu równań różniczkowych za pomocą metody 2.4

# Dyskusja wyników eksperymentów numerycznych

Zbadajmy zależność dokładności rozwiązań numerycznych, uzyskanych za pomocą trzech ostatnich metod zdefiniowanych w zadaniu 2, od długości kroku całkowania  $h \in [h_{min}, h_{max}]$ . Dobierzmy zakres zmienności  $h \in [h_{min}, h_{max}]$  w taki sposób, aby zaobserwować zjawisko niestabilności numerycznej dla zbyt dużego kroku  $h$ . Jako kryterium dokładności rozwiązań przyjmij zagregowane błędy względne:  $\delta_1(h)$  i  $\delta_2(h)$ .

$$\delta_1(h) = \frac{\sum_{n=1}^{N(h)} \left( \hat{y}_1(t_n, h) - \dot{y}_1(t_n) \right)^2}{\sum_{n=1}^{N(h)} \left( \dot{y}_1(t_n) \right)^2} \quad \text{i} \quad \delta_2(h) = \frac{\sum_{n=1}^{N(h)} \left( \hat{y}_2(t_n, h) - \dot{y}_2(t_n) \right)^2}{\sum_{n=1}^{N(h)} \left( \dot{y}_2(t_n) \right)^2}$$

gdzie  $\dot{y}_1$  i  $\dot{y}_2$  to wartość funkcji uzyskanych w zadaniu 1, a  $\hat{y}_1$  i  $\hat{y}_2$  to ich estymaty uzyskane dla kroku całkowania  $h$ .  $N(h)$  oznacza zależną od kroku całkowania liczbę punktów rozwiązania.

Rozważmy algorytm, który ma na celu ocenę dokładności różnych metod numerycznych w przybliżaniu rozwiązań równań różniczkowych w zależności od kroku czasowego.

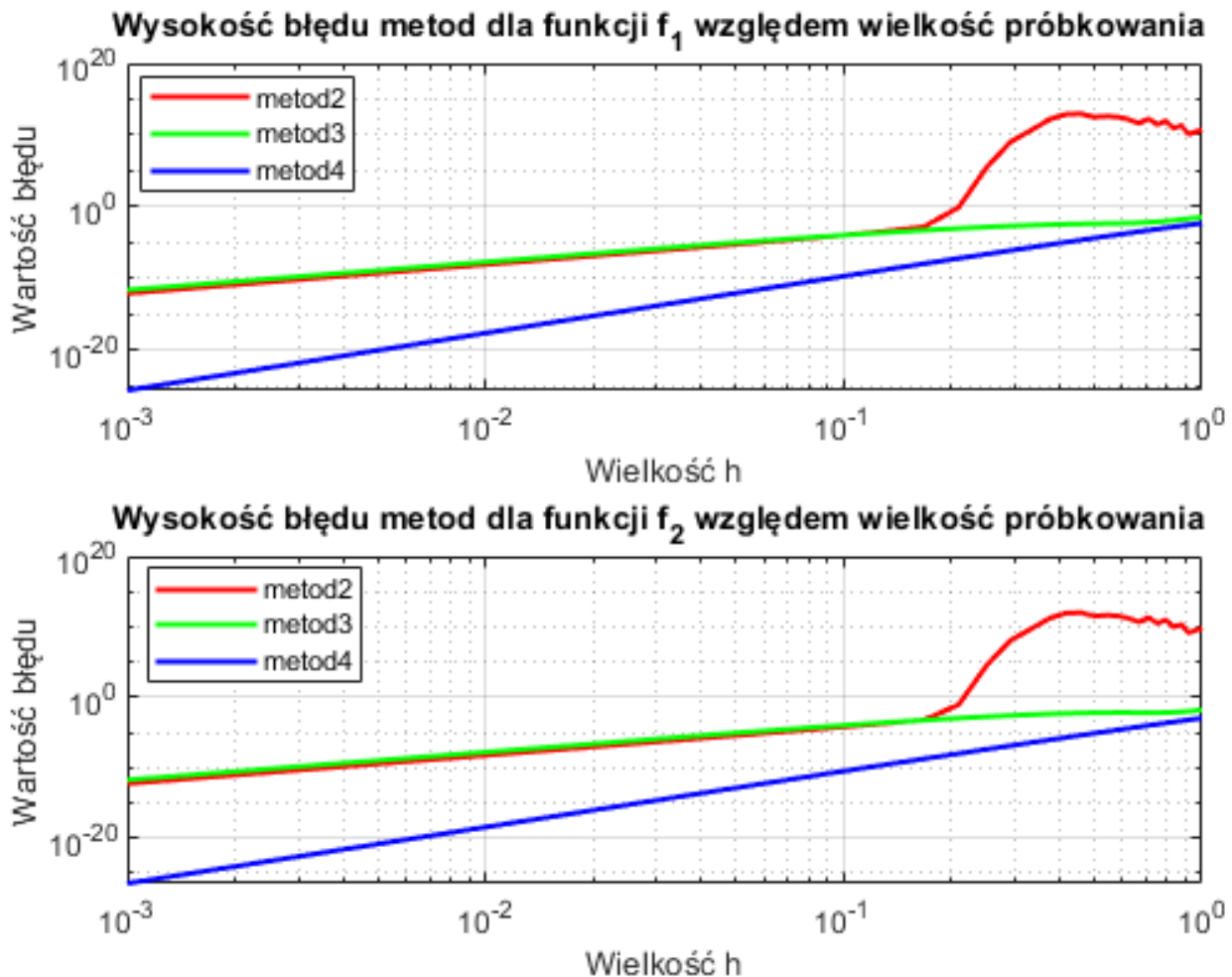
Na początku zdefiniowano przedział czasowy, gdzie krok czasowy zmienia się od  $dt\_min = 0.001$  do  $dt\_max = 0.1$  z  $num\_steps = 10$  równomiernie rozmieszczonymi krokami.

Następnie zainicjowano wektory błędów dla różnych metod (blad1\_m\_2, blad2\_m\_2, blad1\_m\_3, blad2\_m\_3, blad1\_m\_4, blad2\_m\_4) oraz wektor osi  $x$  (osx).

W petli for iteracyjnie przeprowadzono analizę dla różnych kroków czasowych. Obliczono wartość kroku czasowego  $dt$  w danej iteracji. Przeprowadzono symulacje dla różnych metod, w tym zadanie1, zadanie2\_3, zadanie2\_2, zadanie2\_4. Następnie wyliczono błędy pomiędzy wynikami otrzymanymi z różnych metod, używając funkcji esytymat. Finalnie zapisując uzyskane błędy do odpowiednich wektorów.

Funkcja esytymat służy do pomiaru błędów między dwoma rozwiązaniami numerycznymi. Mierzy kwadrat różnicy pomiędzy tymi rozwiązaniami, a następnie normalizuje ten błąd przez kwadrat wartości referencyjnej. Takie podejście pozwala porównać efektywność różnych metod numerycznych w przybliżaniu rozwiązań równań różniczkowych.

Zapisane wartości błędów dla poszczególnych metod oraz odpowiadające im wartości kroków czasowych (osx) stanowią podstawę analizy i porównań, co umożliwia wybór optymalnej metody numerycznej dla danego problemu. Zaprezentujemy teraz wykresy błędów poszczególnych metod (Rysunek 7).  $h < 0,8$



Rysunek 7: Wykresy przedstawiające błędy rozwiązań równań różniczkowych za pomocą metod 2.2, 2.3 i 2.4

W analizie wyników eksperymentów numerycznych dotyczących rozwiązywania URRZ, możemy jednoznacznie stwierdzić, że spośród testowanych metod, czwarta wykazuje najwyższą skuteczność w precyzyjnym oszacowywaniu wyników. Jest to szczególnie widoczne w porównaniu z innymi metodami w różnych przedziałach kroków czasowych.

W przypadku drugiej i trzeciej metody, obserwujemy podobną skuteczność dla wartości  $h < 0,8$ . Jednakże, dla wartości  $h > 0,8$  zauważamy, że skuteczność metody drugiej znacznie spada, stając się istotnie gorsza od trzeciej metody.

W rezultacie, wybór optymalnej metody rozwiązania układów równań różniczkowych może zależeć od zakresu wartości kroku czasowego. Należy rozważyć charakterystykę danego problemu i dostosować metodę numeryczną do jego specyfiki, biorąc pod uwagę optymalną precyzję wyników oraz efektywność obliczeniową.

# Wnioski

Wnioski z projektu są kluczowym elementem podsumowującym przeprowadzone badania i eksperymenty numeryczne. Projekt porusza różne metody numeryczne do rozwiązania układów równań różniczkowych zwyczajnych (URRZ). Porównanie wyników uzyskanych różnymi metodami pozwala zauważyć, że metoda `ode45` dostępna w MATLAB często daje wyniki bardzo zbliżone do rozwiązania dokładnego. Jednakże, różnice te mogą się pojawić w bardziej skomplikowanych przypadkach.

Eksperymenty z różnymi wartościami kroku czasowego ( $h$ ) ukazują, że wybór tej wartości ma wpływ na dokładność uzyskiwanych wyników. Zbyt duży krok czasowy może prowadzić do utraty dokładności numerycznej, podczas gdy zbyt mały może zwiększyć obciążenie obliczeniowe. Optymalna wartość  $h$  zależy od charakterystyki rozważanego układu równań różniczkowych.

Metoda `dsolve` dostępna w MATLAB Symbolic Toolbox pozwala na uzyskanie dokładnych rozwiązań URRZ. Jest to szczególnie użyteczne w przypadku prostych układów, gdzie możemy porównać wyniki numeryczne z wynikami analitycznymi. Jednakże, dla bardziej złożonych układów, ta metoda może okazać się niewystarczająca.

Metody numeryczne, zwłaszcza te oparte na wzorach iteracyjnych, mogą być podatne na niestabilności numeryczne. Warto zwracać uwagę na ten aspekt podczas wyboru metody numerycznej, zwłaszcza dla bardziej skomplikowanych układów równań różniczkowych. W naszym projekcie skupiliśmy się na 3 takich iteracyjnych metodach gdzie po analizie błędów możemy zauważyć, że metody 2.2 i 2.3 mają podobną skuteczność w kontekście przybliżania wartości wyników URRZ natomiast metoda 2.4 mimo najcieńszej implementacji wykazuje się znacznie lepszą skutecznością co możemy dostrzec na wykresach przedstawiających analizę błędów.

Analiza wyników numerycznych powinna być przeprowadzona z uwzględnieniem kontekstu problemu matematycznego. Warto zastanowić się nad sensownością otrzymanych wyników w kontekście rzeczywistych zjawisk fizycznych, które układ równań różniczkowych może modelować.

Eksperymenty numeryczne pozwalają na lepsze zrozumienie właściwości rozważanego układu równań różniczkowych. Poprzez badanie wpływu różnych parametrów, takich jak krok czasowy czy metoda numeryczna, można doprecyzować proces rozwiązywania problemów matematycznych.

W kontekście bardziej zaawansowanych problemów numerycznych, istnieje potrzeba optymalizacji kodu szczególnie w przypadku metody 2.4, zwłaszcza jeśli obliczenia są intensywne. Optymalizacje mogą obejmować zoptymalizowane struktury danych, unikanie zbędnych obliczeń czy wykorzystanie równoległości.

Podsumowując, projekt dostarcza wglądu w proces rozwiązywania układów równań różniczkowych zwyczajnych z wykorzystaniem różnych metod, co pozwala na lepsze zrozumienie ich zalet, ograniczeń i wpływu parametrów na wyniki. Analiza numeryczna stanowi kluczowy element w praktycznym po-

dejsciu do rozwiązywania problemów matematycznych, zwłaszcza tych związanych z modelowaniem procesów dynamicznych.



## Listing programów

```
1 function [y1_values, y2_values] = zadanie1(dt)
2 % Autor: Grzegorz Prasek
3 % Funkcja pomocnicza reprezentująca zadanie 1
4
5 % Parametry równań różniczkowych
6 a = 19/3;
7 b = 8/3;
8 c = 8/3;
9 d = 1/3;
10
11 % Definicja równań różniczkowych
12 syms t y1(t) y2(t) x(t)
13 eq1 = diff(y1) == -a*y1 + b*y2 + x;
14 eq2 = diff(y2) == -c*y1 + d*y2 + x;
15
16 % Warunki początkowe
17 initialConditions = [y1(0) == 0, y2(0) == 0];
18
19 % Funkcja wymuszająca
20 x_t = exp(-t) * sin(t);
21
22 % Podstawienie x(t) do równań różniczkowych
23 eq1 = subs(eq1, x, x_t);
24 eq2 = subs(eq2, x, x_t);
25
26 % Rozwiązanie równań różniczkowych
27 sol = dsolve([eq1, eq2], initialConditions, 't');
28
29 % Wyświetlenie rozwiązań
30 y1_sol = sol.y1;
31 y2_sol = sol.y2;
32 h = dt;
33 % Rysowanie wykresów
34 t_values = 0:h:8;
35 y1_values = double(subs(y1_sol, t, t_values));
36 y2_values = double(subs(y2_sol, t, t_values));
```

Listing 1: Zadanie 1

```

1 function zadanie2_1()
2 % Autor: Grzegorz Prasek
3 % Funkcja pomocnicza reprezentujaca metode 2.1
4
5 % Parametry równań różniczkowych
6 a = 19/3;
7 b = 8/3;
8 c = 8/3;
9 d = 1/3;
10
11 % Definicja równań różniczkowych
12 f = @(t, y) [-a*y(1) + b*y(2) + exp(-t)*sin(t); -c*y(1) + d*y(2) + exp(-t)*sin(t)];
13
14 % Warunki początkowe
15 y0 = [0; 0];
16
17 % Przedział czasowy
18 tspan = [0, 8];
19
20 % Rozwiązanie układu równań różniczkowych za pomocą ode45
21 [t, y] = ode45(f, tspan, y0);
22
23 % Wykres
24 figure;
25
26 plot(t, y(:, 1), 'r', 'LineWidth', 2, 'DisplayName', 'funkcja y1(t)');
27 hold on;
28 plot(t, y(:, 2), 'b', 'LineWidth', 2, 'DisplayName', 'funkcja y2(t)');
29 xlabel('Czas');
30 ylabel('Wartości');
31 title('Rozwiązanie układu równań różniczkowych');
32 legend('show');
33 grid on;

```

Listing 2: Zadanie 2.1

```

1 function y_values = zadanie2_2(dt)
2 % Autor: Grzegorz Prasek
3 % Funkcja pomocnicza reprezentujaca metode 2.2
4
5 % Definicja ukladu równań różniczkowych
6 x = @(t) exp(-t) * sin(t);
7 A = [-19/3,8/3;-8/3,1/3];
8 B = [1;1];
9 f = @(t, y) ( A*y + B*x(t) );
10
11 % Warunki poczatkowe
12 initial_conditions = [0; 0];
13
14 % Przedzial czasu
15 tspan = [0 8];
16
17 % Krok czasowy
18 h = dt;
19
20 % Inicjalizacja wektorów wynikowych
21 t = tspan(1):h:tspan(2);
22 y_values = zeros(2,length(t));
23 y_values(:,1)= initial_conditions';
24
25 % Implementacja metody 2
26 for i = 3:length(t)
27     f1 = f(t(i-1), y_values(:, i-1));
28     f2 = f(t(i-2), y_values(:, i-2));
29
30     y_values(:, i) = y_values(:, i-1) + h/2*( 3*f1 - f2 );
31 end
32 y_values = y_values';

```

Listing 3: Zadanie 2.2

```

1 function y_values = zadanie2_3(dt)
2 % Autor: Grzegorz Prasek
3 % Funkcja pomocnicza reprezentujaca metode 2.3
4
5 A = [-19/3,8/3;-8/3,1/3];
6 B = [1;1];
7 % Warunki poczatkowe
8 initial_conditions = [0; 0];
9 x_t = @(t) exp(-t) * sin(t);
10 ode_system = @(t, y) A*y + B*x_t(t);
11 % Przedzial czasu
12 tspan = [0 8];
13
14 % Krok czasowy
15 h = dt;
16 s = h/12;
17
18 % Inicjalizacja wektorów wynikowych
19 t_values = tspan(1):h:tspan(2);
20 y_values = zeros(length(t_values), length(initial_conditions));
21 y_values(1,:) = initial_conditions';
22 y_values(2,:) = (eye(2)-h*A)\(y_values(1,:)'+h*B*x_t(t_values(2)));
23
24 % Implementacja metody 3
25 for n = 3:length(t_values)
26     t_n = t_values(n);
27     y_n_minus_1 = y_values(n-1, :)';
28     y_n_minus_2 = y_values(n-2, :)';
29     f_n_minus_1 = ode_system(t_n - h, y_n_minus_1);
30     f_n_minus_2 = ode_system(t_n - 2*h, y_n_minus_2);
31
32     % Wzór metody
33     y_n = (eye(2) - 5*s*A)\(y_n_minus_1 + 5*s*B*x_t(t_n) + 8*s*f_n_minus_1 - s*
34     f_n_minus_2);
35     % Zapisanie wyniku
36     y_values(n, :) = y_n';
37 end

```

Listing 4: Zadanie 2.3

```

1 function y = zadanie2_4(dt)
2 % Autor: Grzegorz Prasek
3 % Funkcja pomocnicza reprezentujaca metode 2.4
4
5 tspan = [0, 8];
6 y0 = [0, 0];
7 A = [-19/3, 8/3; -8/3, 1/3];
8 b = [ 1 ; 1];
9 x = @(t) ( exp(-t)*sin(t) );
10 h= dt;
11
12 % Inicjalizacja wektorów wynikowych
13 t = tspan(1):h:tspan(2);
14 y = zeros(2,length(t));
15 y(:, 1) = y0';
16
17 % Współczynniki Butchera
18 B = [1/6, 0, -1/6; 1/12, 5/12, 0; 1/2, 1/3, 1/6];
19 W = [1/6, 2/3, 1/6];
20 C = [ 0, 1/2, 1 ];
21
22 % Obliczanie lewej strony równań
23 L = [(eye(2)-h*B(1,1)*A), -h*B(1,2)*A, -h*B(1,3)*A;
24      -h*B(2,1)*A, (eye(2)-h*B(2,2)*A), -h*B(2,3)*A;
25      -h*B(3,1)*A, -h*B(3,2)*A, (eye(2)-h*B(3,3)*A)];
26
27 for i = 2:length(t)
28
29     % Obliczanie prawej strony równań
30     P = [A*y(:,i-1) + b*x(t(i-1) + C(1)*dt);
31          A*y(:,i-1) + b*x(t(i-1) + C(2)*dt);
32          A*y(:,i-1) + b*x(t(i-1) + C(3)*dt)];
33
34     % Rozwiązywanie układu równań
35     g = L \ P;
36
37     % Obliczanie ostatecznej sumy
38     fSum = W(1)*g([1 2]) + W(2)*g([3 4]) + W(3)*g([5 6]);
39     y(:, i) = y(:, i-1) + dt*fSum;
40
41 end
42 y = y';

```

Listing 5: Zadanie 2.4

```

1 function main()
2 % Autor: Grzegorz Prasek
3 % Uwaga: By uruchomić wszystkie zadania trzeba uruchomić jedynie funkcje
4 % main bez parametrów.
5 % funkcja ta zwraca wszystkie wykresy do wszystkich zadań.
6
7 % uruchoiemnie zadania 1 i zadania 2
8 [x_1,y_1] = zadanie1(0.01);
9 zad1 = [x_1',y_1'];
10
11 plotuj(0:0.01:8,zad1);
12 zadanie2_1();
13 plotuj(0:0.01:8,zadanie2_2(0.01));
14 plotuj(0:0.01:8,zadanie2_3(0.01));
15 plotuj(0:0.01:8,zadanie2_4(0.01));
16
17 % zadanie 3
18 % zdefiniowanie przedziału
19 dt_min = 0.001;
20 dt_max = 1;
21 num_steps = 25;
22
23 blad1_m_2 = zeros(1,num_steps);
24 blad2_m_2 = zeros(1,num_steps);
25 blad1_m_3 = zeros(1,num_steps);
26 blad2_m_3 = zeros(1,num_steps);
27 blad1_m_4 = zeros(1,num_steps);
28 blad2_m_4 = zeros(1,num_steps);
29 osx = zeros(1,num_steps);
30
31 for i = 1:num_steps
32     dt = dt_min + (dt_max - dt_min) * (i - 1) / (num_steps - 1);
33     osx(i) = dt;
34     [zad1_1_values, zad1_2_values] = zadanie1(dt);
35     zad2_3 = zadanie2_3(dt);
36     zad2_2 = zadanie2_2(dt);
37     zad2_4 = zadanie2_4(dt);
38     blad1_m_2(i) = esytymat(zad1_1_values,zad2_2(:,1)');
39     blad2_m_2(i) = esytymat(zad1_2_values,zad2_2(:,2)');
40     blad1_m_3(i) = esytymat(zad1_1_values,zad2_3(:,1)');
41     blad2_m_3(i) = esytymat(zad1_2_values,zad2_3(:,2)');
42     blad1_m_4(i) = esytymat(zad1_1_values,zad2_4(:,1)');
43     blad2_m_4(i) = esytymat(zad1_2_values,zad2_4(:,2)');

```

```

44 end
45
46 figure;
47
48 subplot(2, 1, 1);
49 loglog(osx, blad1_m_2, 'r', 'LineWidth', 1.5, 'DisplayName', 'metod2');
50 hold on;
51 loglog(osx, blad1_m_3, 'g', 'LineWidth', 1.5, 'DisplayName', 'metod3');
52 loglog(osx, blad1_m_4, 'b', 'LineWidth', 1.5, 'DisplayName', 'metod4');
53 xlabel('Wielkość h');
54 ylabel('Wartość błędu');
55 title('Wysokość błędu metod dla funkcji f_1 względem wielkość próbkowania ');
56 legend('show');
57 grid on;
58 hold off;
59
60 subplot(2, 1, 2);
61 loglog(osx, blad2_m_2, 'r', 'LineWidth', 1.5, 'DisplayName', 'metod2');
62 hold on;
63 loglog(osx, blad2_m_3, 'g', 'LineWidth', 1.5, 'DisplayName', 'metod3');
64 loglog(osx, blad2_m_4, 'b', 'LineWidth', 1.5, 'DisplayName', 'metod4');
65 xlabel('Wielkość h');
66 ylabel('Wartość błędu');
67 title('Wysokość błędu metod dla funkcji f_2 względem wielkość próbkowania ');
68 legend('show');
69 grid on;
70 hold off;
71
72 end
73
74 function wynik = esytymat(solution1, solution2_numer)
75     wynik = sum((solution2_numer - solution1).^2);
76     wynik = wynik/sum(solution1.^2);
77 end

```

Listing 6: Zadanie 3 oraz uruchomienie pozostałych funkcji

```

1 function plotuj(t_values, y_values)
2 % Autor: Grzegorz Prasek
3 % Funkcja pomocnicza przedstawiajaca uzyskane wartosci na wykresie
4
5 figure;
6 plot(t_values, y_values(:, 1), 'r', 'LineWidth', 2, 'DisplayName','funkcja y1(t)');
7 hold on;
8 plot(t_values, y_values(:, 2), 'b', 'LineWidth', 2, 'DisplayName','funkcja y2(t)');
9 xlabel('czas');
10 legend('y1(t)', 'y2(t)');
11 ylabel('Wartości');
12 title('Rozwiązanie układu równań różniczkowych');
13 legend('show');
14 grid on;
15 end

```

Listing 7: Funkcja do ukazywania wykresów